



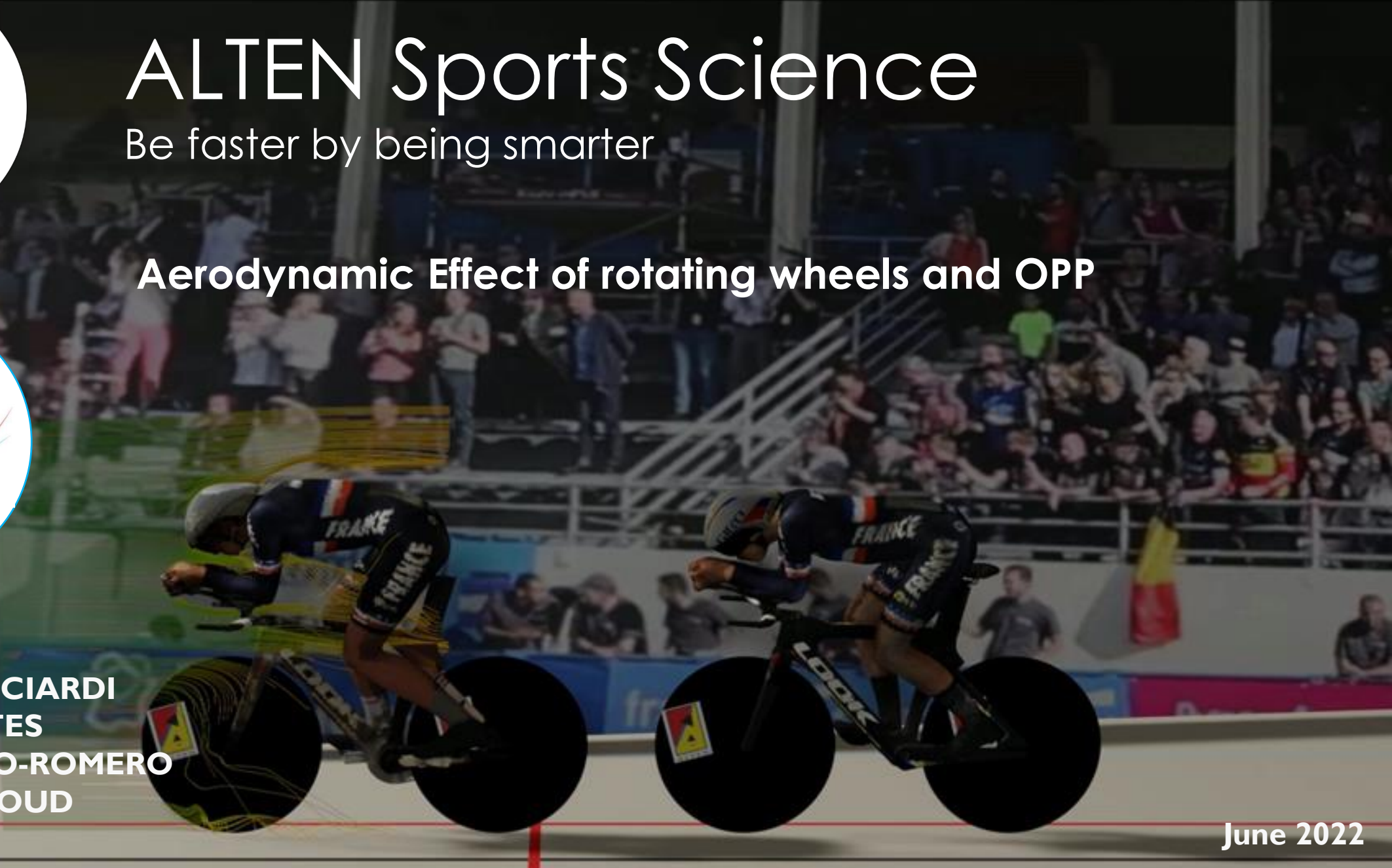
# ALTEN Sports Science

Be faster by being smarter

Aerodynamic Effect of rotating wheels and OPP

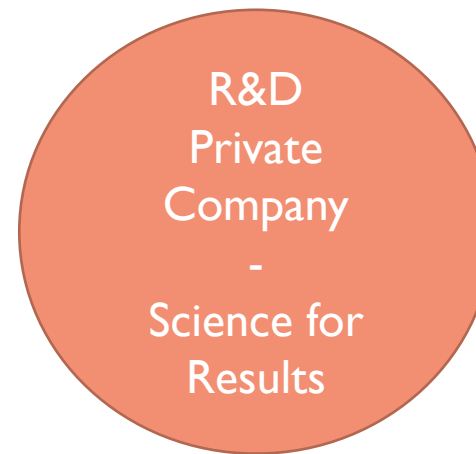
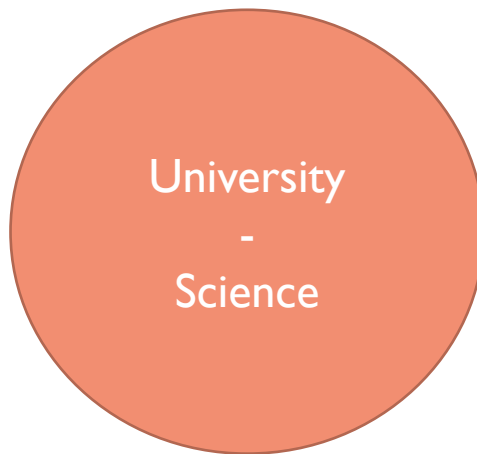


Sébastien RICCIARDI  
Antony COSTES  
Georges SOTO-ROMERO  
Sylvain NEYROUD



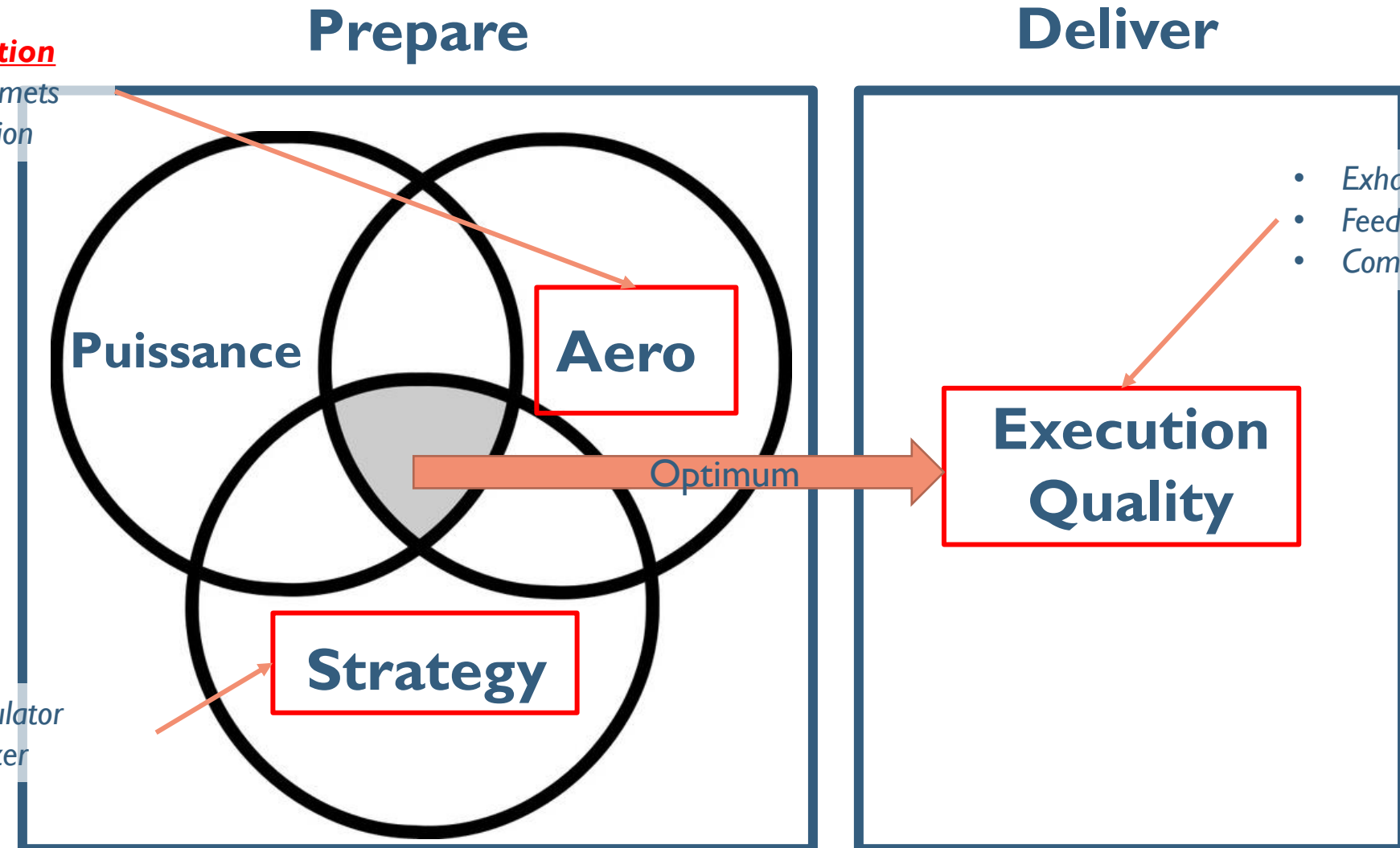
June 2022

# ALTERN Sports Science



# Performance pillars in cycling

- **Aero Optimisation**
- Individualized helmets
- Position degradation
- Track Cycling Simulator
- Time-Trial Optimizer



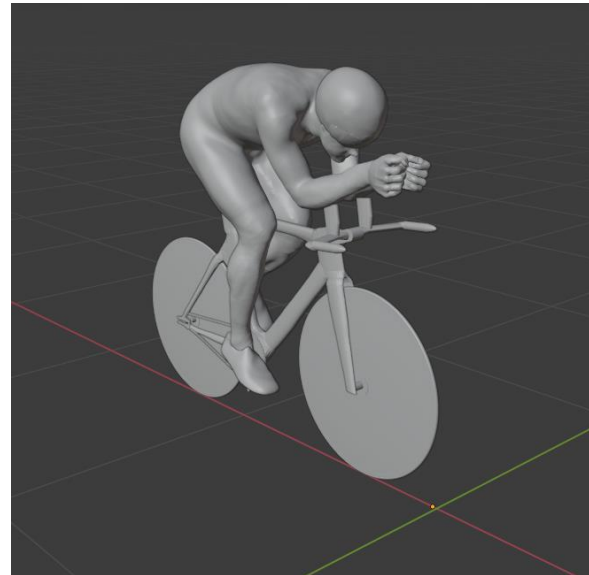
# — End-to-end 3D Scan to CFD analysis



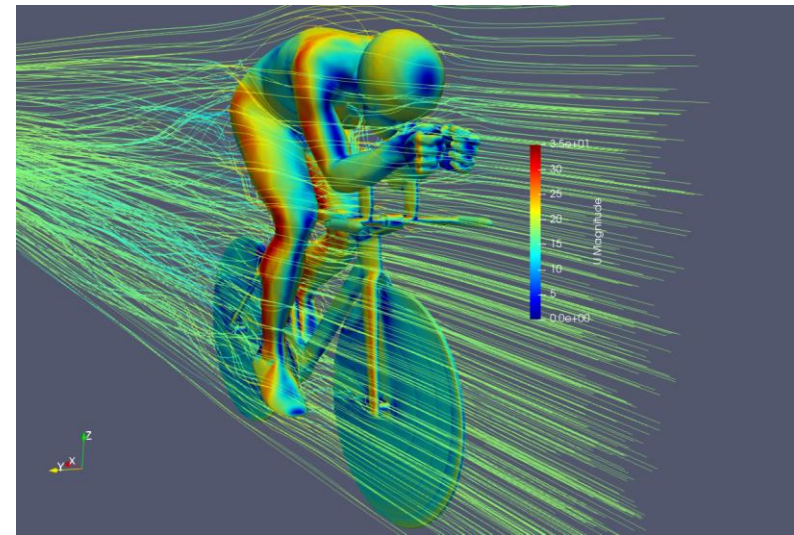
I. 3D Scan



II. Point cloud

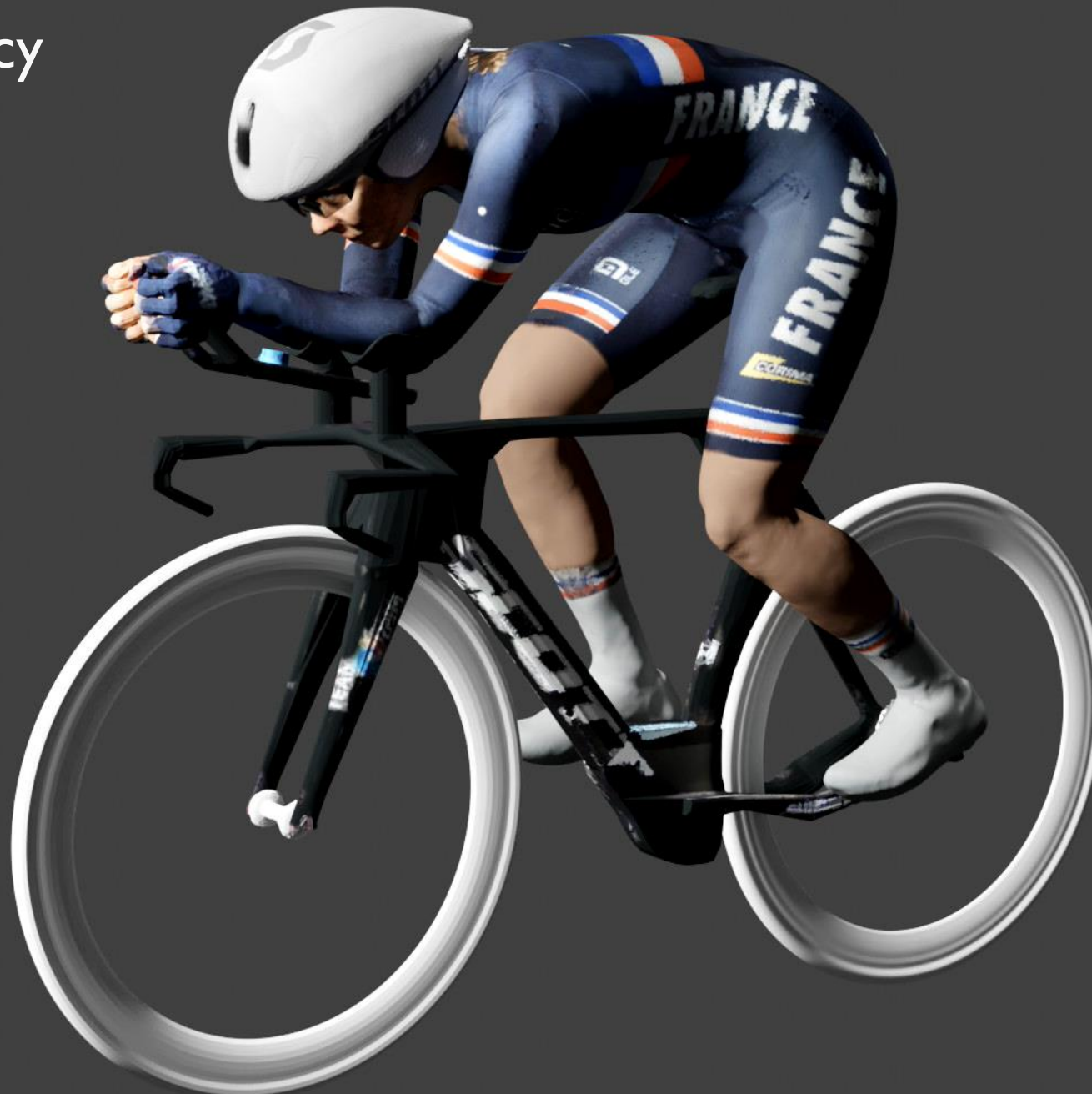


III. Reconstruction +  
retro-engineering +

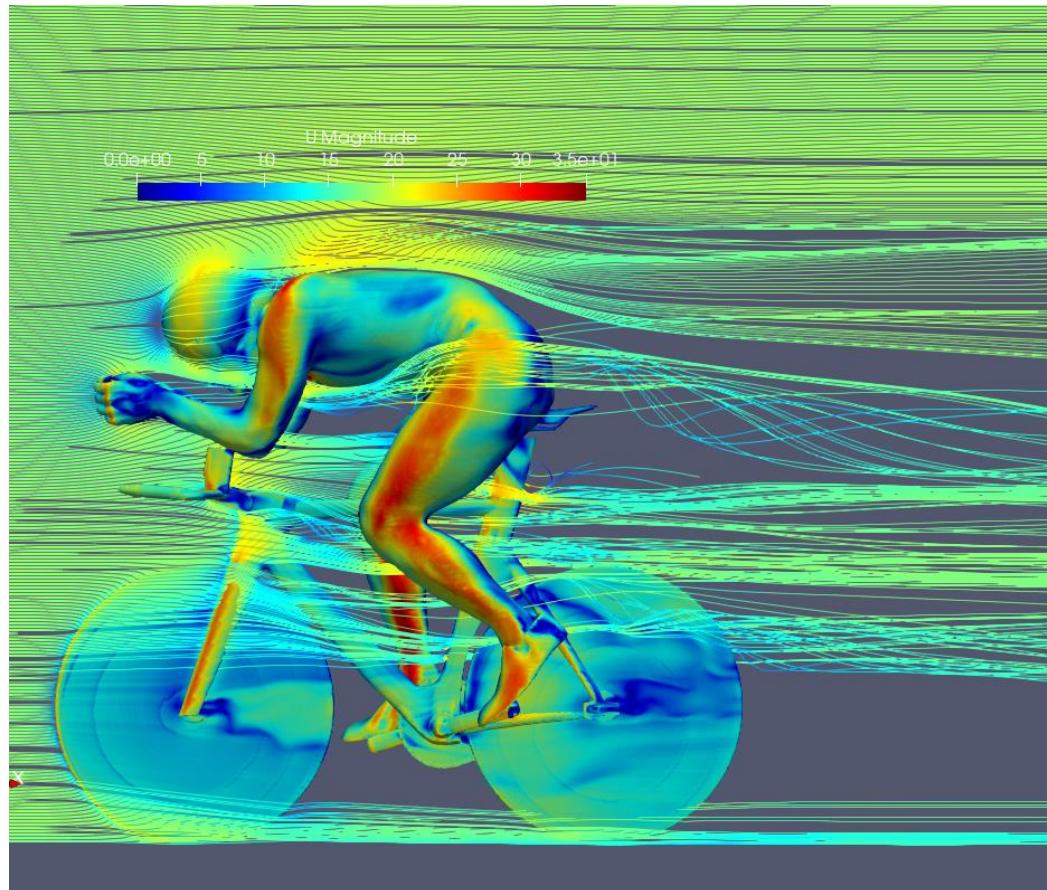


IV. CFD Study & Optimisation

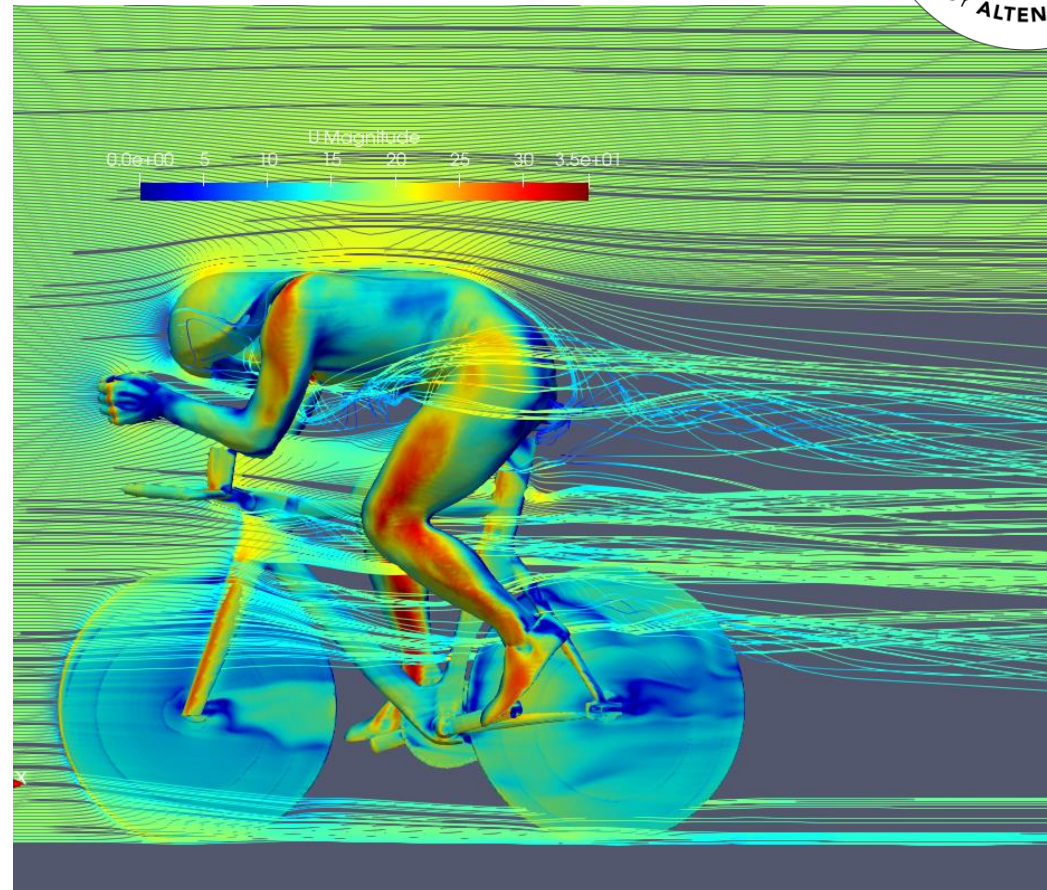
High Model accuracy



# Helmets testing

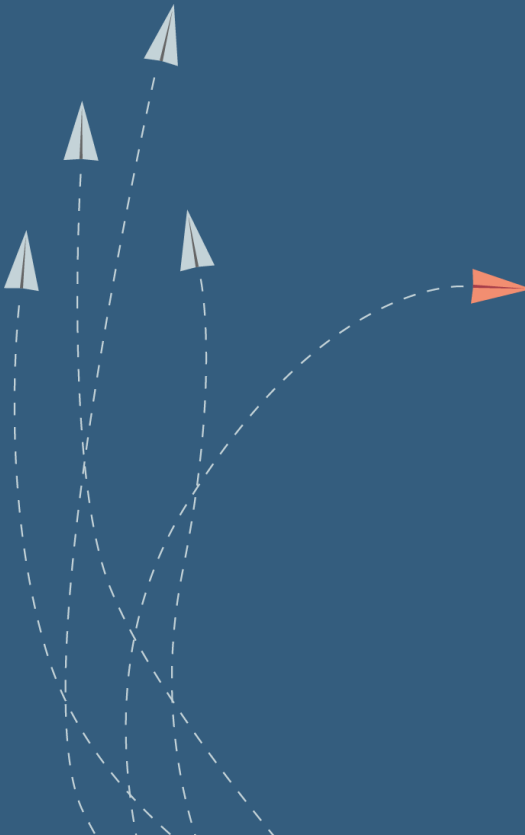


Avant



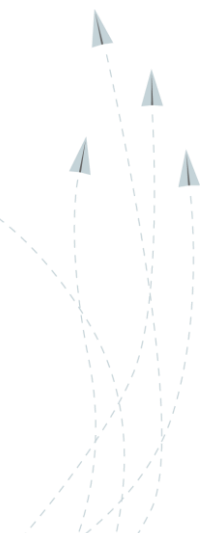
Après

# The study



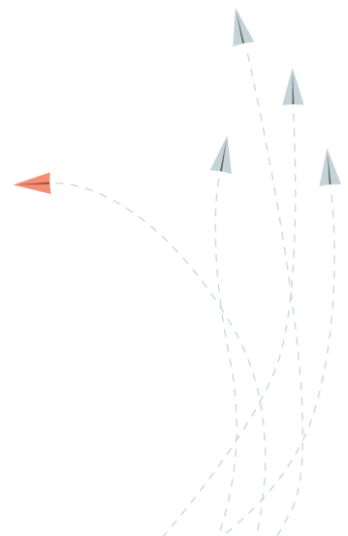
# — What is the OPP ?

OPP = Over-Pressure Push



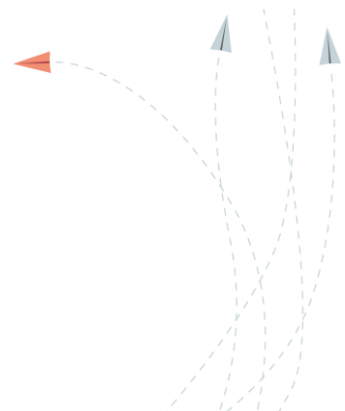
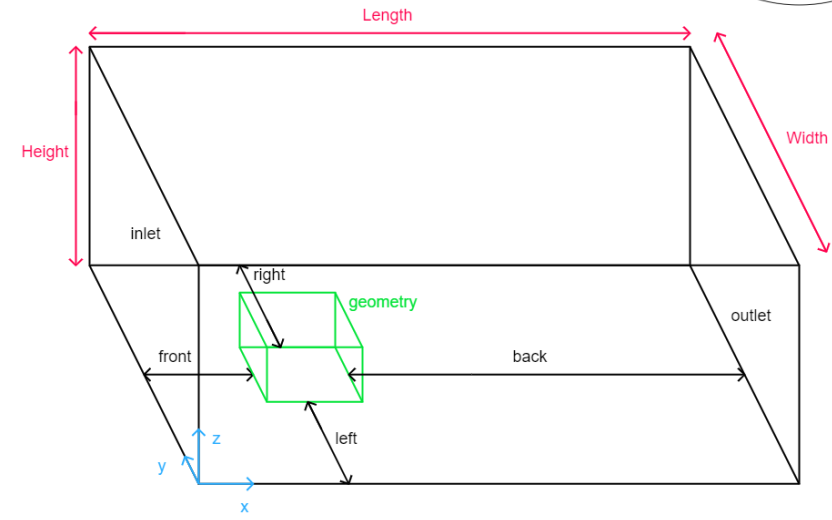
# — Over-Pressure Push Values in Literature

- Blocken et al. (2013) => CFD : 2.6%
- Defraeye et al. (2014) => CFD : 3%
- Barry et al. (2015) => Wind tunnel : 5%
- Malizia (2020) :
  - CdA +39% for an isolated rotating wheel
  - CdA +3.5% higher for a full cyclist with wheels rotation compared to static ones.
- How can you reconcile all these ?



# Model

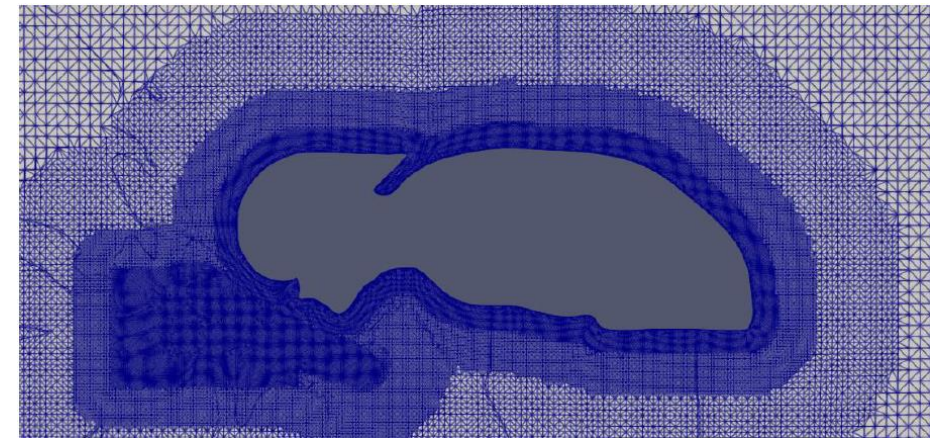
- RANS
- k-omega SST turbulence model
- Domain size :
  - 5L upstream, left and right
  - 6L above
  - 15L downstream
- Boundary conditions
  - Inlet : speed of 18m/s, turbulence intensity of 1%.
  - Ground : no-slip condition
  - Cyclist Body : no-slip condition
  - Outlet : zero-static pressure
  - Other walls : zero Gradient pressure



## — Grid convergence study

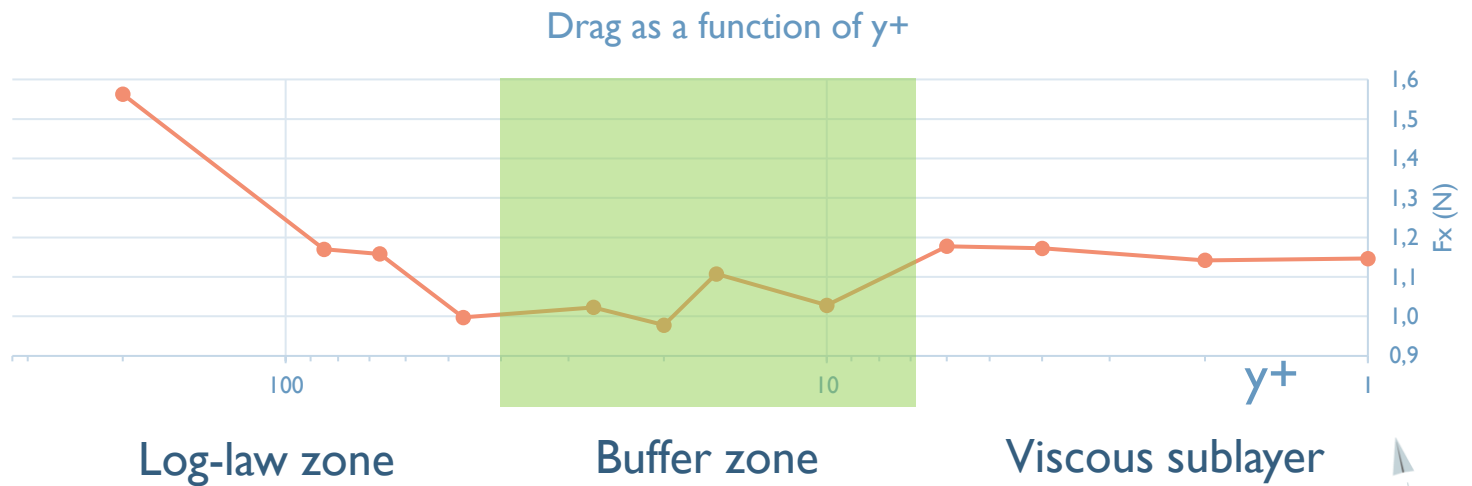


- Upper part of the body with no bike
- 5 m/s
- $y+$  from 300 down to 1

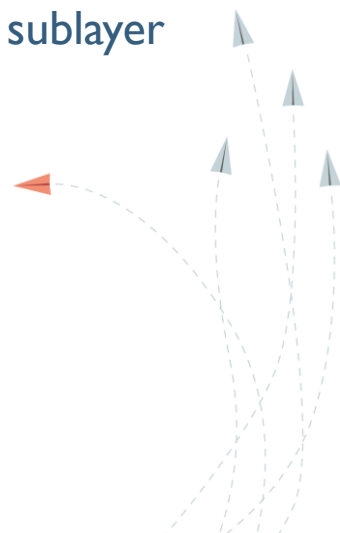


# — Grid convergence study (2)

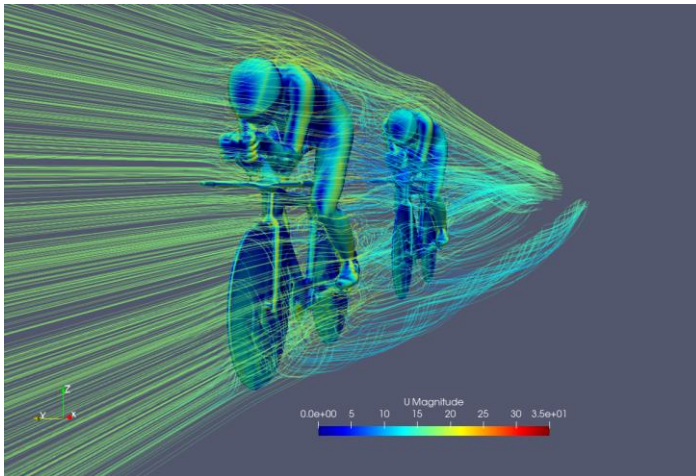
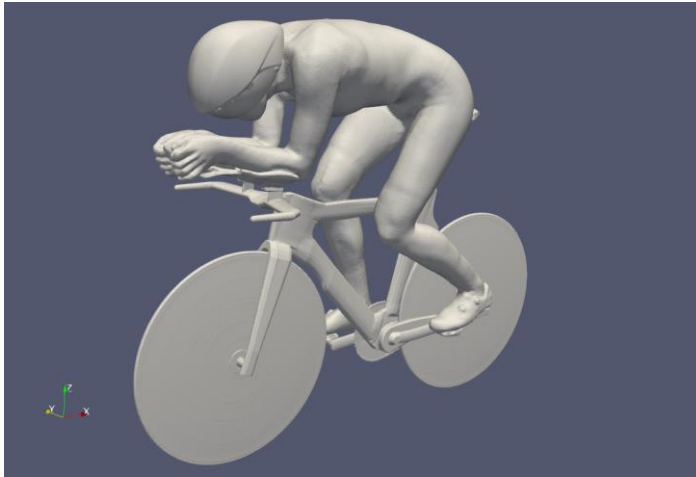
$y^+$	1ere maille (mm)	$F_x$ (N)	Ecart	Ecart type	Pression	Viscosité
200	20,9	1,56264	36%	0%	95%	5%
85	15	1,16975	2%	0%	93%	7%
67	9,84	1,15801	1%	0%	94%	6%
47	6,28	0,99714	13%	0%	92%	8%
27	3,07	1,02275	11%	1%	90%	10%
20	2,31	0,97780	15%	0%	91%	9%
16	1,53	1,10758	3%	1%	89%	11%
10	1,31	1,02799	10%	1%	92%	8%
6	0,644	1,17743	3%	2%	92%	8%
4	0,426	1,17227	2%	3%	93%	7%
2	0,235	1,14171	0%	3%	93%	7%
1	0,144	1,14633	0%	3%	93%	7%



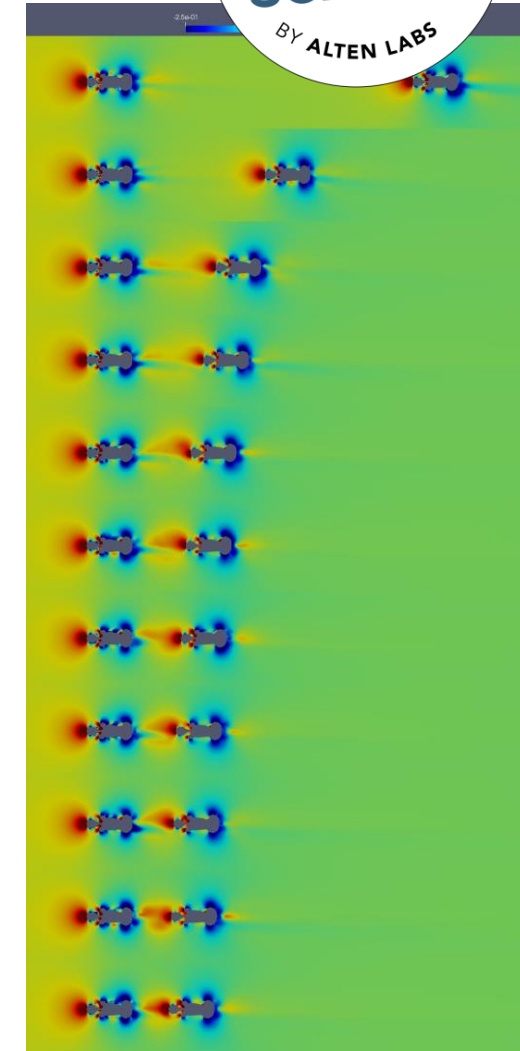
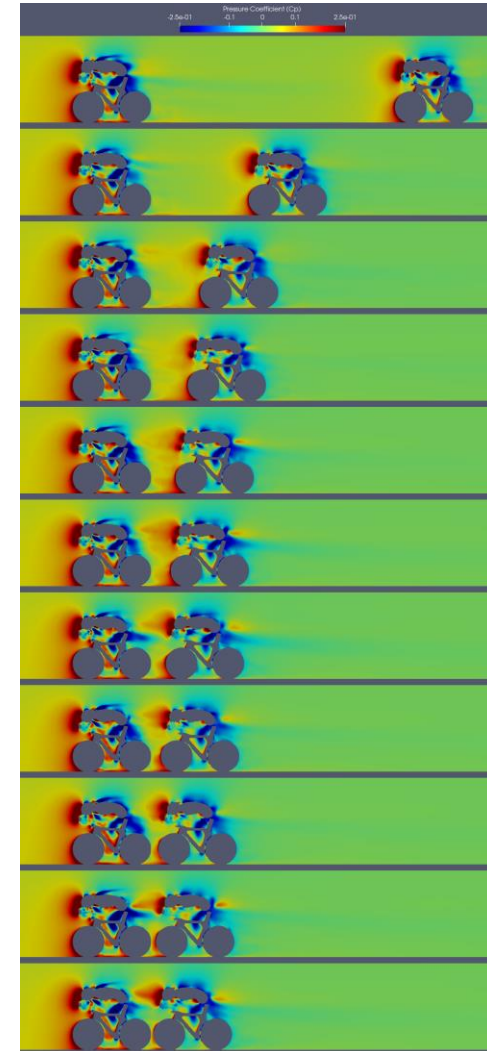
$y^+ = 6$  OK but  $y^+ = 2$  better is if possible



# — Drag on 2 cyclists

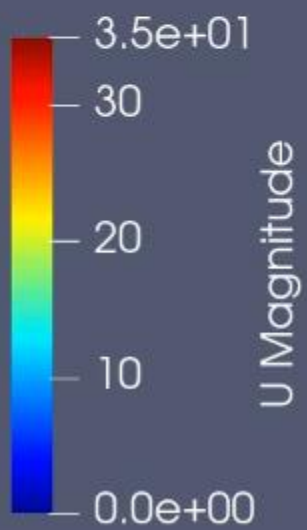
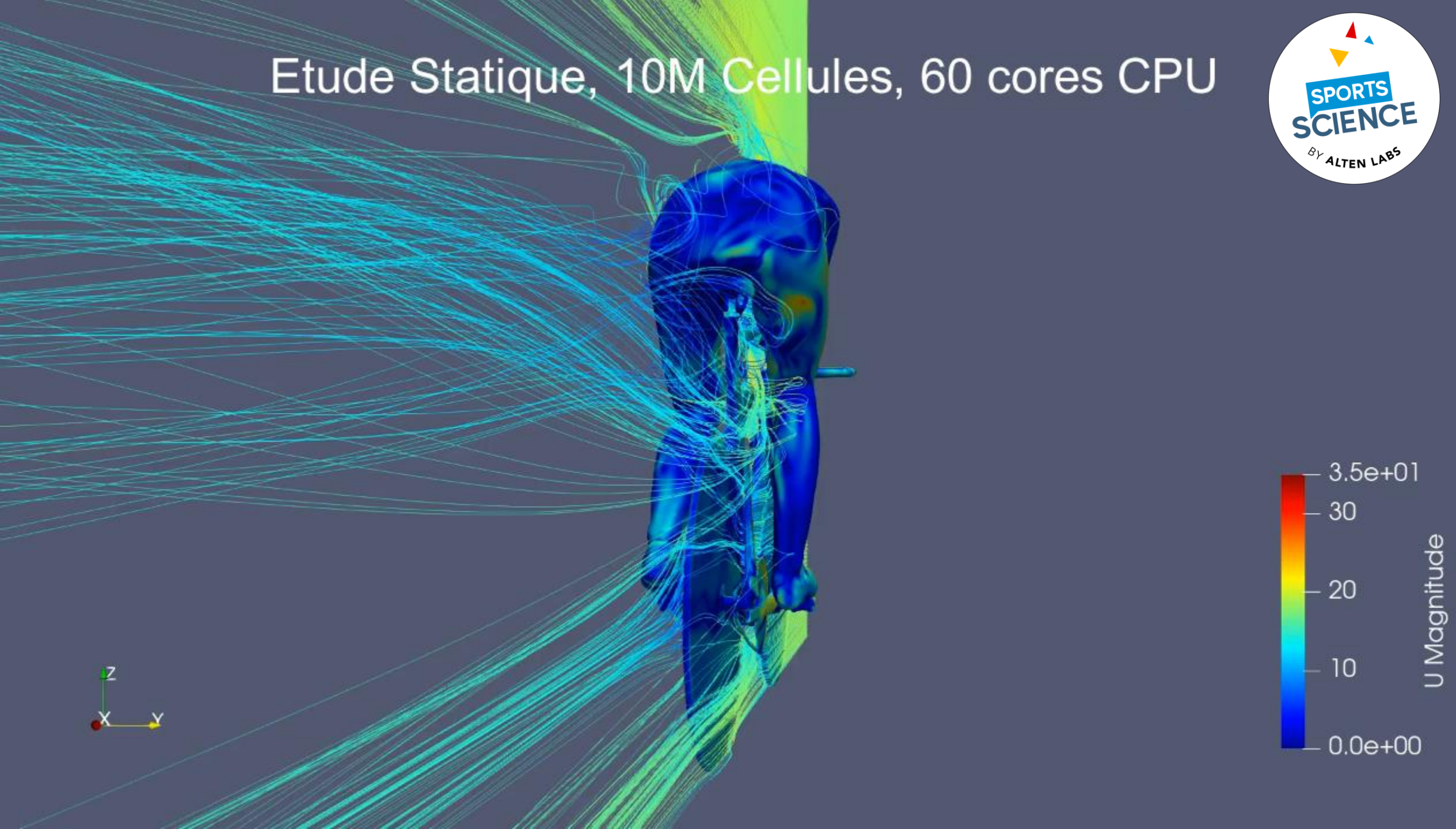


- 11 Positions
- 5cm to 5m

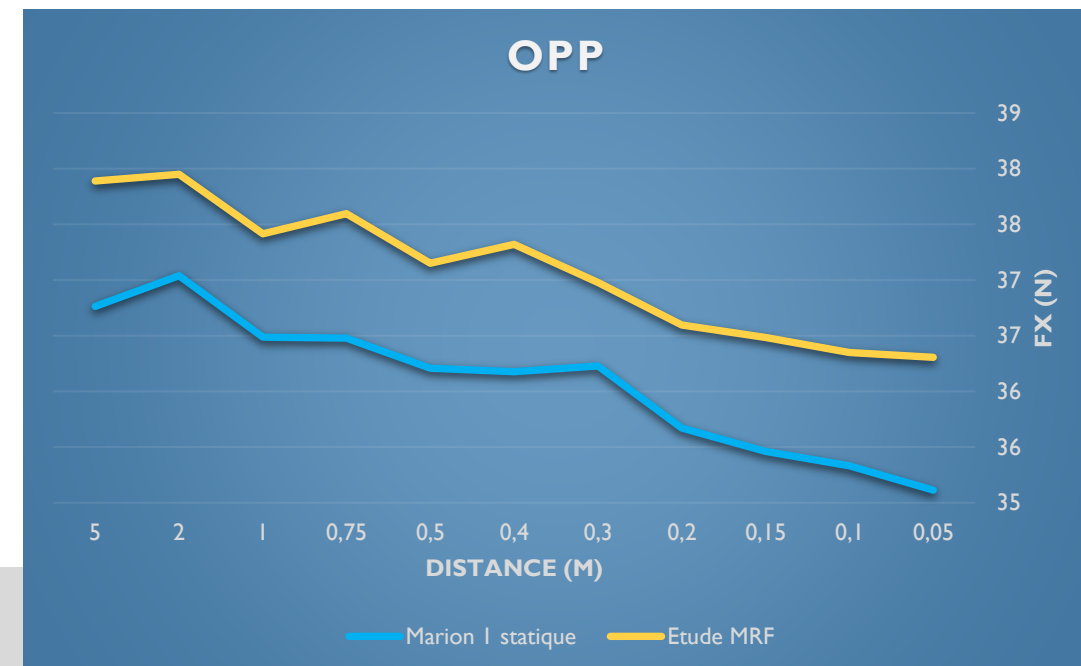
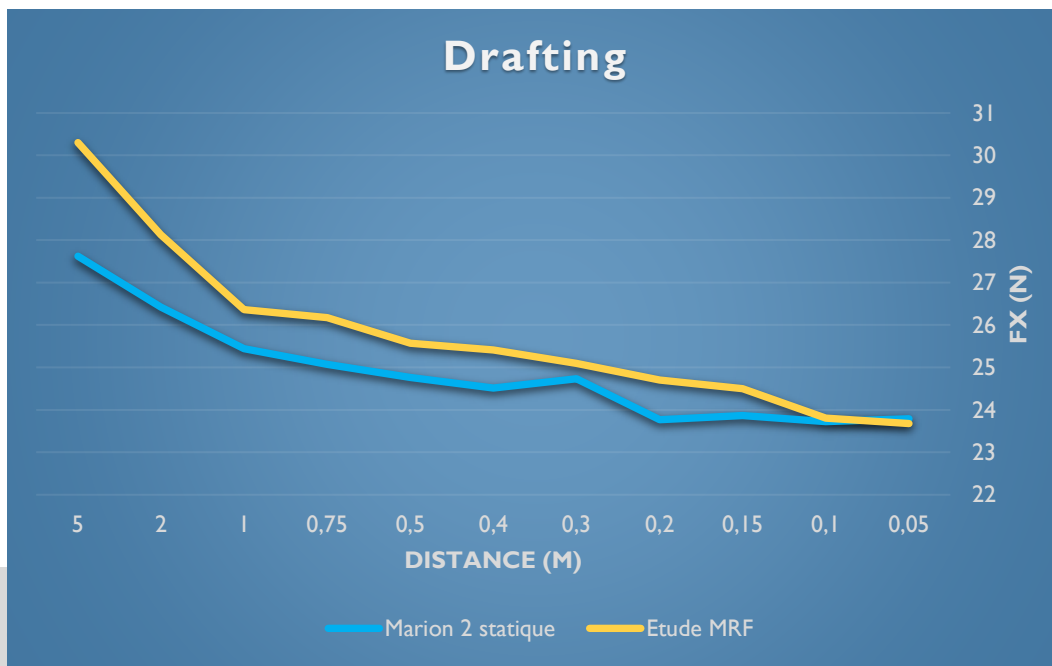
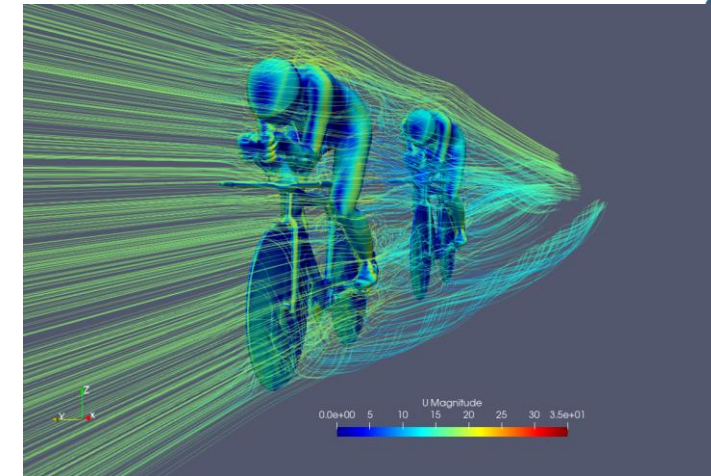
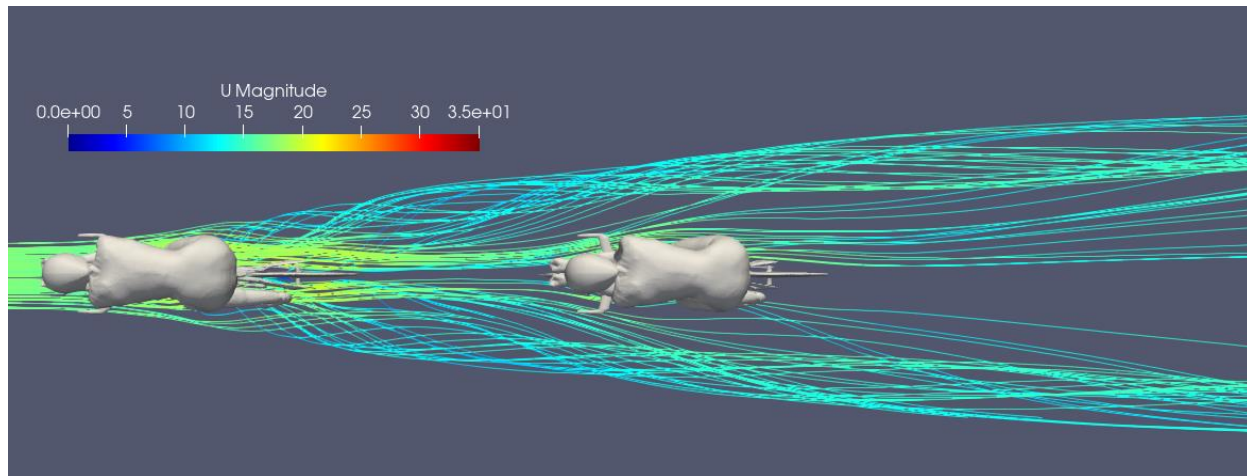




Etude Statique, 10M Cellules, 60 cores CPU



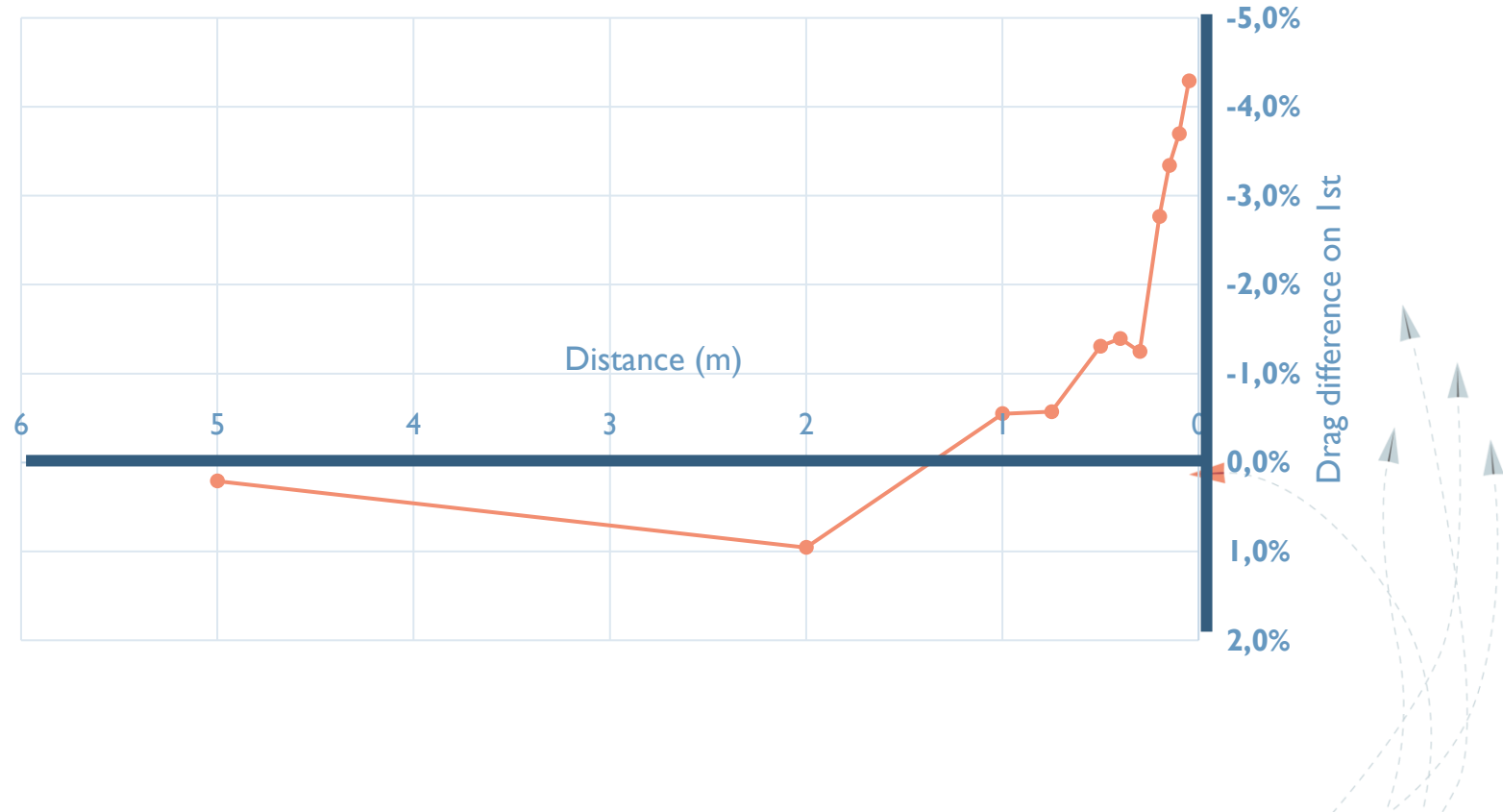
# OPP static & MRF

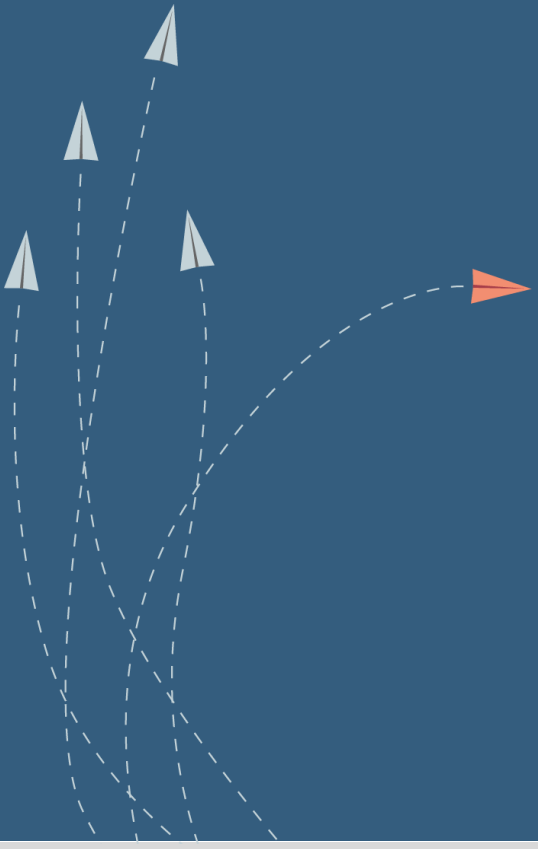


# Conclusions

OPP becomes significant from 0.5m can reach up to 4-4.5% of drag reduction for the 1st cyclist

## OverPressure Push with rotating wheels





# Ok, Now what ?

The FUN stuff !!!!!



# How far are they actually ?

TOKYO 2020



21cm

9cm

22cm

Fortin

Borras

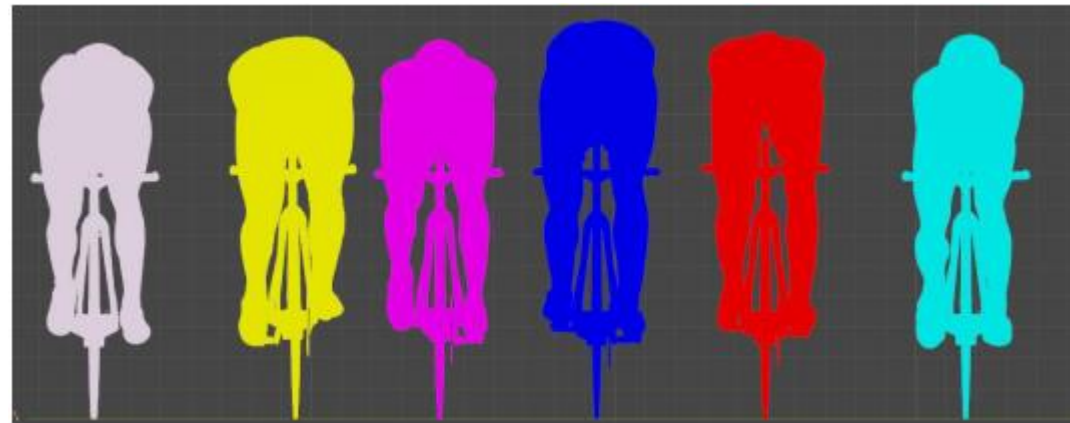
Berteau

LeNet

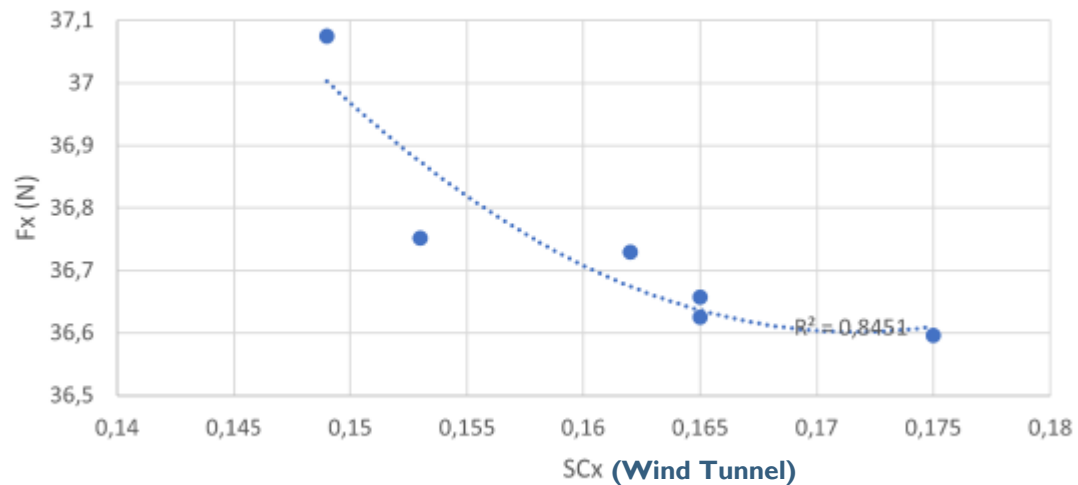


0:36.4

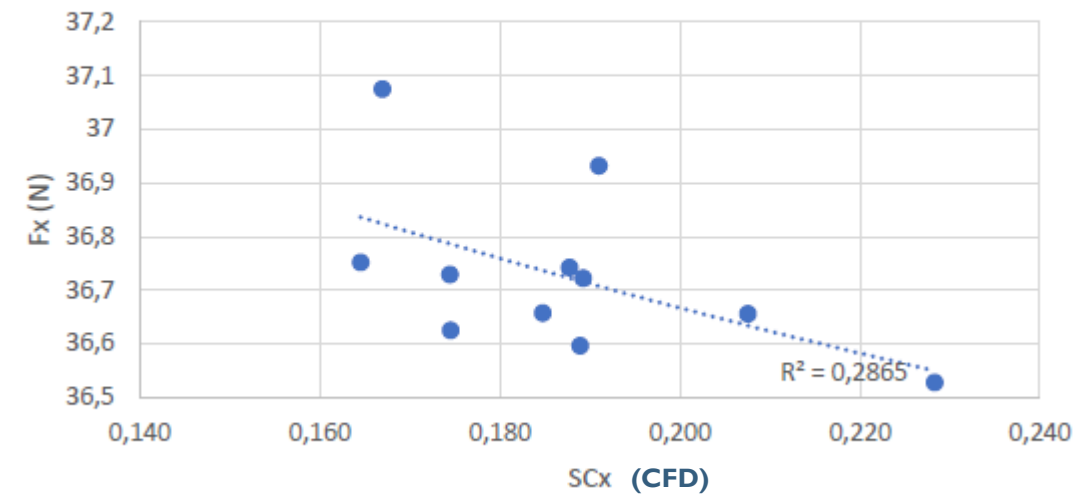
# Influence of body shapes on OPP



Traînée du cycliste de tête en fonction du SCx du second



Traînée du cycliste de tête en fonction du SCx (obtenu par CFD) du second



# Optimisation of Team Pursuit

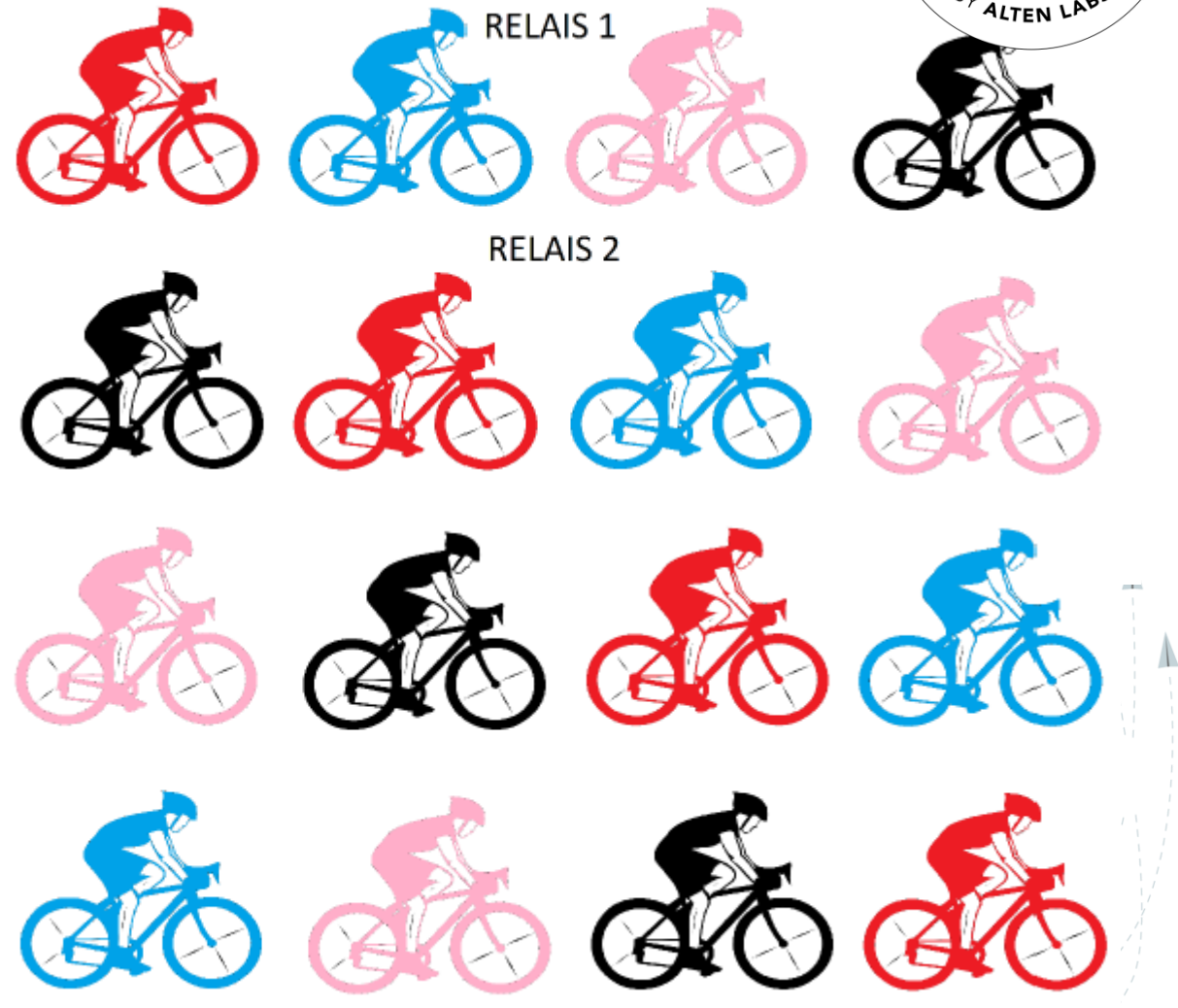
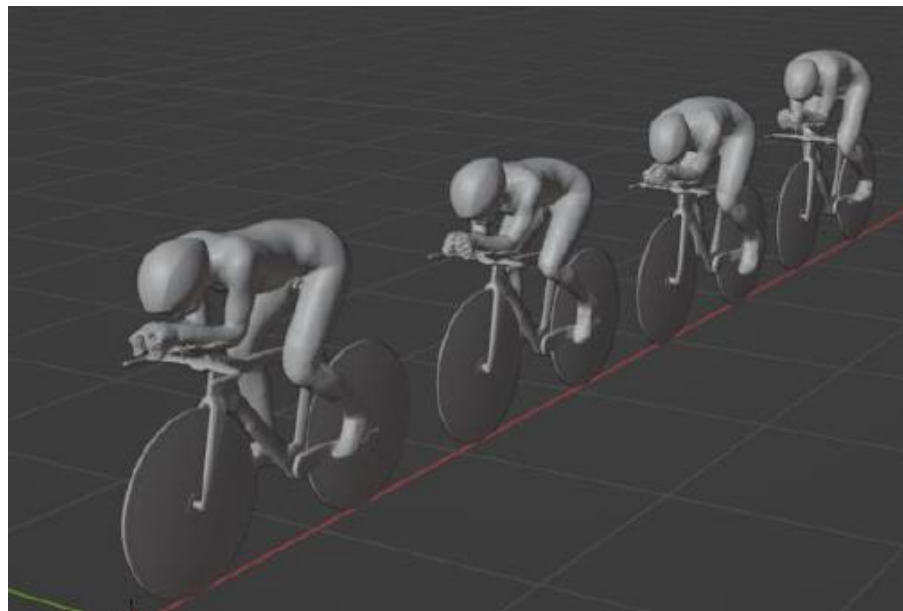
4 cyclists, rotating

6 possible starting orders, 4 rotations each

⇒ 24 configuration tested

⇒ (y+ ~5, no MRF, 100MCells)

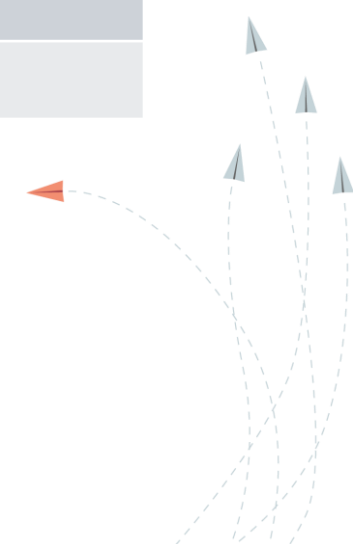
⇒ Wheel space : 20cm



# Optimisation of Team Pursuit (2)

Starting Order	Average of 4 rotations	Difference with best
1 : ex (A-B-C-D)	82.98 N	-
2 : ex (A-B-D-C)	83.99 N	1.2%
3 : ex (A-C-B-D)	84.10 N	1.3%
4 : ex (A-C-D-B)	84.45 N	1.8%
5 : ex (A-D-B-C)	85.13 N	2.6%
6 : ex (A-D-C-B)	85.56 N	3.1%

⇒ Potential impact : 4.5sec...





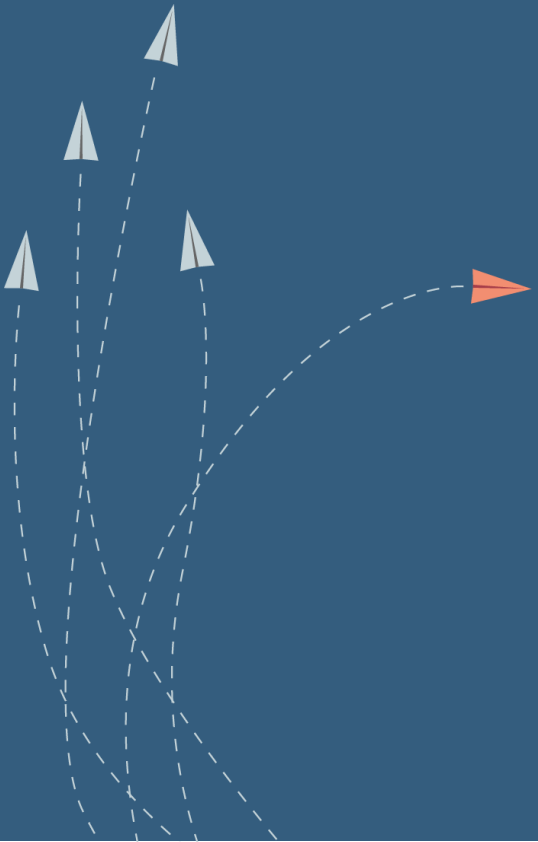
Thank you for your  
attention

Questions ?

Contacts

Sébastien RICCIARDI  
Antony COSTES  
Georges SOTO-ROMERO

[Sebastien.ricciardi@alten.com](mailto:Sebastien.ricciardi@alten.com)  
[Antony.costes@alten.com](mailto:Antony.costes@alten.com)  
[gsotorom@laas.fr](mailto:gsotorom@laas.fr)



# Appendices

## B. Etude de convergence en maillage

Comme nous avons pu le voir précédemment, nous avons fait varier la taille de première maille au cours de cette étude. Plus précisément, nous avons analysé la valeur de force de traînée ( $F_x$ ) obtenue pour chaque valeur de  $y^+$ , défini comme suit :

$$y^+ = \frac{\rho u_\tau y_p}{\mu}$$

Avec  $\rho$  la masse volumique de l'air ( $\text{kg/m}^3$ ),  $u_\tau$  la vitesse à la paroi ( $\text{m/s}$ ),  $\mu$  la viscosité dynamique et enfin  $y_p$  la demie-hauteur de cellule, liée à la taille de première maille évoquée auparavant.

Lors de cette étude, nous faisons varier la valeur de  $y^+$  de 300 à 1, afin de balayer le spectre des lois de paroi, illustrées par la figure ci-dessous :

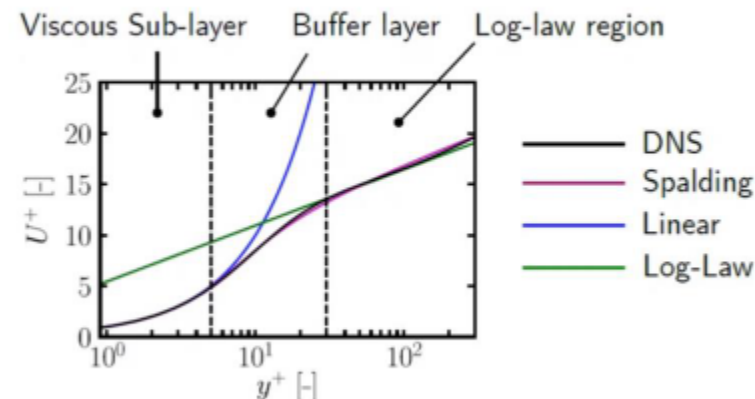


Figure 16 - Modélisation de la couche limite en fonction de  $y^+$

